

## TIMOSHENKO KİRİŞLERİNİN GENEL ELASTİK SINIR KOŞULLARINDA FOURIER SERİLERİ KULLANILARAK TİTREŞİM ANALİZİ

*Hayrullah Gün KADIOĞLU\**  
*Mustafa Özgür YAYLI\**

Alınma: 04.05.2017; düzeltme: 27.12.2017; kabul: 31.12.2017

**Öz:** Bu çalışmada kirişlerin genel elastik sınır koşullarında titreşim analizi, Timoshenko kiriş teorisiyle incelenmiştir. Bu teori kaymanın elastik eğriye etkisini dikkate alır. Bu yüzden bu teori Euler-Bernoulli kiriş teorisine göre daha doğru sonuçlar vermektedir. Bu çalışmada dikey yer değiştirme fonksiyonu olarak Fourier sinüs serisi seçilmiştir. Benzer şekilde dönme fonksiyonu olarak Fourier kosinüs serileri seçilmiştir. Bu fonksiyonlar Fourier katsayılarını hesaplamak için hareket denklemlerinde kullanılmıştır. Sonra lineer denklemleri elde etmek için Stoke dönüşümü sınır koşullarına dahil edilmiştir. Lineer denklemler kullanılarak bir katsayılar matrisi oluşturulmuştur. Bu katsayılar matrisinin öz değeri açılmal frekansları vermiştir. Bu çalışmanın sonuçları literatürdeki diğer çalışmalar ile kıyaslanmıştır. Ayrıca bulunan sonuçlar tablolar ve şekillerde sunulmuştur.

**Anahtar Kelimeler:** Timoshenko kiriş teorisi, Serbest titreşim analizi, Stoke dönüşümü, Fourier serileri.

### **Vibration Analysis of Timoshenko Beams Under General Elastic Boundary Conditions by Using Fourier Series**

**Abstract:**In this study, the free vibration analysis of beams with general elastic boundary conditions is investigated based on Timoshenko beam theory. This theory considers effect on elastic curve. So, this theory has more accurate result than Euler-Bernoulli beam theory. In this study, lateral displacement function is chosen as a Fourier cosine series. Similarly, slope function is chosen as a Fourier sine series. These functions are used in the equation of motion to calculate the Fourier coefficients. Then Stoke transformation is applied to boundary conditions to obtain the linear equations. A coefficient matrix is created by using the linear systems of equations. The eigenvalues of this coefficient matrix gives the angular frequencies. Results of this study are compared with other studies in the literature. Moreover, calculated results are presented in a series of figures and tables.

**Keyword:** Timoshenko beam theory, Free vibration analysis, Stoke transformation, Fourier series.

## 1. GİRİŞ

Euler Bernoulli kiriş teorisinde elastik sınır koşullarına sahip kirişlerin titreşim analiziyle ilgili literatürde birçok çalışma olmasına rağmen, elastik sınır koşullarına sahip Timoshenko kirişlerinin titreşim analizi konusunda pek fazla çalışma yoktur. Araştırmacılar rijit sınır koşulları için kapalı çözümleri rahatlıkla hesaplayabilmektedir. Fakat deforme olabilir sınır koşulları için çözümler oldukça kısıtlıdır.

Literatürde rijit ve elastik sınır koşulları için yapılmış bazı çalışmalar bu bölümde sıralanmıştır. Bozyiğit ve diğ. (2015) Timoshenko kirişlerinin serbest titreşim analizini diferansiyel transformasyon metodu ile incelemiştir. Rose (1994) iki parametrelilik elastik zemine oturan Timoshenko kirişinin serbest titreşim analizini analitik yöntem ile incelemiştir. Kim ve Kim (2001) kirişlerin elastik sınır koşullarında titreşim analizini Fourier serilerini ve Euler-

\* Uludağ Üniversitesi Mühendislik Fakültesi İnşaat Mühendisliği Bölümü, BURSA  
İletişim Yazarı: Hayrullah Gün KADIOĞLU (hyrllh\_1113@hotmail.com)

Bernoulli kiriř teorisini kullanarak incelemiřtir. Zhou (2001) Rayleigh-Ritz metodunu kullanarak çok aıklıklı Timoshenko kiriřleri iin serbest titreřim analizini yapmıřtır. Farghaly (1994) dođal frekans ve kritik burkulma yk katsayılarını çok aıklıklı Timoshenko kiriřleri iin incelemiřtir. Banerjer (1998) aksenal ykle yklenmiř Timoshenko kiriřlerinin serbest titreřim analizini dinamik rijitlik metodu ile incelemiřtir. Gl ve Aydođlu (2015) elastik zemin zerine oturan kiriřlerin Euler-Bernoulli ve Timoshenko kiriř teorileri ile dalga sayısı ynnden titreřimlerini incelemiřtir. Develi (2007) Winkler zemini ve Vlasov elastik zemini zerine oturan sonlu uzunluktaki bir Timoshenko kiriřinin serbest titreřim problemlerini incelemiřtir. Yeřilce ve atal (2011) elastik zemine oturan deđiřken kesitli, yarı rijit bađlı Reddy-Bickford kiriřlerinin titreřim analizini diferansiyel transformasyon metodu incelemiřtir. Demirdađ ve Yeřilce (2011) tepe noktasında toplanmıř ktleye sahip zemine dnmeye karřı elastik yayla bađlı Timoshenko kolonunun serbest titreřimini diferansiyel transformasyon metodu ile incelemiřlerdir. Kocatrk ve řimřek (2005) elastik mesnetli kiriřlerin serbest titreřimini Lagrange denklemlerini ve Kuvvet serilerini kullanarak Timoshenko kiriř teorisine incelemiřtir.

Bu alıřmada dnmeyi engelleyici elastik yay ve sabit mesnet ile mesnetli Timoshenko kiriřlerinin serbest titreřim analizi Fourier serileri kullanılarak gerekleřtirilmiřtir. Elde edilmiř katsayılar matrisini kullanarak birok farklı sınır kořuluna sahip Timoshenko kiriřinin titreřim analizi yapılabilir. Bu bakımdan bulunmuř olan zmlerin ilerde yapılacak elastik mesnetli alıřmalara katkı sađlayacađı dřnlmektedir. Bulunan deđerler tablolar ve grafikler halinde sunulmuřtur ve literatrde yapılmıř olan diđer alıřmalar ile karřılařtırılarak dođruluđu test edilmiřtir.

## 2. YAPILAN KABULLER

Bu alıřma iin řu kabuller yapılmıřtır:

- 1.Malzeme homojen ve izotropiktir.
- 2.Malzeme davranıřı dođrusal elastiktir.
- 3.İkinci merteye etkiler ihmal edilmiřtir.
- 4.Snm etkisi ihmal edilmiřtir.
- 5.Eksenal deformasyon gz nne alınmamıřtır.

## 3. PROBLEM VE ZM

Timoshenko kiriř teorisine gre  $\varphi(z,t)$  kiriř eksenine dik yer deđiřtirme fonksiyonu,  $\theta(z,t)$  kesitin dnme fonksiyonunu gstermektedir. Rose(1994) iki parametrelili elastik zemine oturan Timoshenko kiriřlerinin serbest titreřimini analitik yntemle incelemiřtir. Onun bu alıřmasında elde ettiđi hareket denklemleri řunlardır.

$$\frac{AG}{K_s} \left( \frac{\partial^2 \varphi(z,t)}{\partial z^2} - \frac{\partial \theta(z,t)}{\partial z} \right) - m \frac{\partial^2 \varphi(z,t)}{\partial t^2} = 0, \quad (1)$$

$$EI \frac{\partial^2 \theta(z,t)}{\partial z^2} - m \frac{I}{A} \frac{\partial^2 \theta(z,t)}{\partial t^2} + \frac{AG}{K_s} \left( \frac{\partial \varphi(z,t)}{\partial z} - \theta(z,t) \right) = 0. \quad (2)$$

Yukarıdaki denklemlerde; m kiriřin yayılı ktlesini, A kiriřin en kesit alanını, G kiriřin yapıldıđı malzemenin kayma modln, E kiriřin yapıldıđı malzemenin elastisite modln, I kiriřin alan atalet momentini ve  $K_s$  kesme dzeltme katsayısını gstermektedir.

### 3.1. Fourier Serileri

Basit harmonik hareket kabul yapılsa; yer deđiřtirme ve dnme fonksiyonları ařađıdaki gibi Fourier serileriyle gsterilebilir.

$$\varphi(z,t) = \varphi(z). \cos(\omega t), \quad (3)$$

$$\varphi(z) = \varphi_0 \quad z = 0, \quad (4)$$

$$\varphi(z) = \varphi_L \quad z = L, \quad (5)$$

$$\varphi(z) = \sum_{n=1}^{\infty} (A_n \sin(\alpha_n z)) \quad 0 < z < L, \quad (6)$$

$$\theta(z, t) = \theta(z) \cdot \cos(\omega t), \quad (7)$$

$$\theta(z) = \theta_0 \quad z = 0, \quad (8)$$

$$\theta(z) = \theta_L \quad z = L, \quad (9)$$

$$\theta(z) = \sum_{n=1}^{\infty} (B_n \cos(\alpha_n z)) \quad 0 < z < L. \quad (10)$$

Burada şu tanım geçerlidir.

$$\alpha_n = \frac{n\pi}{L}. \quad (11)$$

### 3.2. Stoke Dönüşümleri

Kurulan modelden görüleceği gibi rijit olmayan sınır koşullarını, problem çözümüne dâhil etmek için matematiksel bir dönüşüm yapılması gereklidir. Bu çalışmada Fourier sinüs serisi, Stoke dönüşümü ile birlikte kullanılarak hareketli sınır şartları da probleme dâhil edilecektir.

$$A_n = \frac{2}{L} \int_0^L \varphi(z) \sin(\alpha_n z) dz. \quad (12)$$

Yukarıdaki yer değiştirme fonksiyonunun türevi alınır;

$$\varphi'(z) = \sum_{n=1}^{\infty} (\alpha_n A_n \cos(\alpha_n z)), \quad (13)$$

elde edilir. Üstteki bu fonksiyon Fourier kosinüs serisi ile gösterilebilir;

$$\varphi'(z) = \frac{f_0}{2} + \sum_{n=1}^{\infty} f_n \cos(\alpha_n z), \quad (14)$$

(14) denklemindeki ( $f_0, f_n$ ) katsayıları aşağıdaki formdadır.

$$f_0 = \frac{2}{L} \int_0^L \varphi'(z) dz = \frac{2}{L} (\varphi(L) - \varphi(0)), \quad (15)$$

$$f_n = \frac{2}{L} \int_0^L \varphi'(z) \cos(\alpha_n z) dz \quad n = 1, 2, 3, \dots \quad (16)$$

Son olarak kısmi integrasyon uygulanırsa;

$$f_n = \frac{2}{L} [\varphi(z) \cos(\alpha_n z)]_0^L + \frac{2}{L} [\alpha_n \int_0^L \varphi(z) \sin(\alpha_n z) dz], \quad (17)$$

$$f_n = \frac{2}{L} [(-1)^n \varphi(L) - \varphi(0)] + A_n \alpha_n, \quad (18)$$

bulunur. Yukarıda gerçekleştirilen işlemler Stoke dönüşümü olarak bilinmektedir. Daha yüksek mertebeli türevler benzer şekilde bulunabilir. Üçüncü mertebeden türeve kadar olan sonuçlar aşağıda sunulmuştur.

$$\frac{\partial \varphi(z)}{\partial z} = \frac{(\varphi_L - \varphi_0)}{L} + \sum_{n=1}^{\infty} \cos(\alpha_n z) \left( \frac{2((-1)^n \varphi_L - \varphi_0)}{L} + \alpha_n A_n \right), \quad (19)$$

$$\frac{\partial^2 \varphi(z)}{\partial z^2} = - \sum_{n=1}^{\infty} \alpha_n \sin(\alpha_n z) \left( \frac{2((-1)^n \varphi_L - \varphi_0)}{L} + \alpha_n A_n \right), \quad (20)$$

$$\frac{\partial^3 \varphi(z)}{\partial z^3} = \frac{(\varphi''_L - \varphi''_0)}{L} + \sum_{n=1}^{\infty} \cos(\alpha_n z) \left[ \frac{2}{L} (\varphi''_L (-1)^n - \varphi''_0) - \alpha_n^2 \left( \frac{2}{L} (\varphi_L (-1)^n - \varphi_0) + \alpha_n A_n \right) \right]. \quad (21)$$

Benzer dnřmler dnme fonksiyonu iin de tekrarlanabilir. Dnme fonksiyonunun trevi alınırsa;

$$\theta'(z) = - \sum_{n=1}^{\infty} (\alpha_n B_n \sin(\alpha_n z)), \quad (22)$$

bulunur. Bu fonksiyonu Fourier kosins serisi olarak gsterebilmek iin bir kez daha trev alınırsa;

$$\theta''(z) = - \sum_{n=1}^{\infty} (\alpha_n^2 B_n \cos(\alpha_n z)), \quad (23)$$

bulunur. Yukarıda yapılan yer deđiřtirme fonksiyonu iin yapılan iřlemlerin benzerleri yapıldıđında dnme fonksiyonlarının nc mertebeye kadar olan trevleri ařađıdaki gibi elde edilir.

$$\frac{\partial \theta(z)}{\partial z} = - \sum_{n=1}^{\infty} (\alpha_n B_n \sin(\alpha_n z)), \quad (24)$$

$$\frac{\partial^2 \theta(z)}{\partial z^2} = \frac{(\theta'_L - \theta'_0)}{L} + \sum_{n=1}^{\infty} \cos(\alpha_n z) \left( \frac{2((-1)^n \theta'_L - \theta'_0)}{L} - \alpha_n^2 B_n \right), \quad (25)$$

$$\frac{\partial^3 \theta(z)}{\partial z^3} = \sum_{n=1}^{\infty} \alpha_n \sin(\alpha_n z) \left( \frac{2(\theta'_0 - \theta'_L (-1)^n)}{L} + \alpha_n^2 B_n \right). \quad (26)$$

### 3.3. Fourier Katsayılarının Bulunması

(3) ve (7) numaralı denklemler (1) ve (2) numaralı denklemlerde yerine yazılırsa;

$$\frac{AG}{K_s} \left( \frac{\partial^2 \varphi(z) \cos(\omega t)}{\partial z^2} - \frac{\partial \theta(z) \cos(\omega t)}{\partial z} \right) + m \omega^2 \varphi(z) \cos(\omega t) = 0, \quad (27)$$

$$EI \frac{\partial^2 \theta(z) \cos(\omega t)}{\partial z^2} + m \frac{I \omega^2}{A} \theta(z) \cos(\omega t) + \frac{AG}{K_s} \left( \frac{\partial \varphi(z) \cos(\omega t)}{\partial z} - \theta(z) \cos(\omega t) \right) = 0, \quad (28)$$

bulunur. (27) ve (28) denklemleri  $\cos(\omega t)$  ye blnrse;

$$\frac{AG}{K_s} \left( \frac{\partial^2 \varphi(z)}{\partial z^2} - \frac{\partial \theta(z)}{\partial z} \right) + m \omega^2 \varphi(z) = 0, \quad (29)$$

$$EI \frac{\partial^2 \theta(z)}{\partial z^2} + m \frac{I \omega^2}{A} \theta(z) + \frac{AG}{K_s} \left( \frac{\partial \varphi(z)}{\partial z} - \theta(z) \right) = 0, \quad (30)$$

elde edilir. Denklem (30) 'un z ye bağlı bir defa daha türevi alınırsa;

$$EI \frac{\partial^3 \theta(z)}{\partial z^3} + m \frac{I\omega^2}{A} \frac{\partial \theta(z)}{\partial z} + \frac{AG}{K_s} \left( \frac{\partial^2 \varphi(z)}{\partial z^2} - \frac{\partial \theta(z)}{\partial z} \right) = 0, \quad (31)$$

bulunur. (6), (20), (24) ve (26) denklemleri (29) ve (31) denklemlerinde yerine yazılırsa;

$$\frac{AG}{K_s} (-\alpha_n \sin(\alpha_n z)) \left( \frac{2((-1)^n \varphi_L - \varphi_0)}{L} + \alpha_n A_n \right) + \alpha_n B_n \sin(\alpha_n z) \quad (32)$$

$$+ m\omega^2 A_n \sin(\alpha_n z) = 0,$$

$$EI \alpha_n \sin(\alpha_n z) \left( \frac{2(\theta'_0 - \theta'_L(-1)^n)}{L} + \alpha_n^2 B_n \right) - m \frac{I\omega^2}{A} \alpha_n B_n \sin(\alpha_n z) \quad (33)$$

$$+ \frac{AG}{K_s} (-\alpha_n \sin(\alpha_n z)) \left( \frac{2((-1)^n \varphi_L - \varphi_0)}{L} + \alpha_n A_n \right) + \alpha_n B_n \sin(\alpha_n z) = 0,$$

elde edilir. Bu denklemlerden  $A_n$  ve  $B_n$  değerleri elde edilir.

$$A_n = (2AGI\alpha_n(-m\omega^2\varphi_0 + AE\alpha_n^2\varphi_0 + (-1)^n m\omega^2\varphi_L + (-1)^{n+1} AE\alpha_n^2\varphi_L - AE\theta'_0 + (-1)^n AE\theta'_L)) \quad (34)$$

$$/(L(-A^2Gm\omega^2 + Im^2\omega^4K_s - AGIm\omega^2\alpha_n^2 - AEIm\omega^2K_s\alpha_n^2 - A^2GEI\alpha_n^4)),$$

$$B_n = -((2A(-AGm\omega^2\varphi_0 + (-1)^n AGm\omega^2\varphi_L - EIm\omega^2K_s\theta'_0 + AGEI\alpha_n^2\theta'_0 + (-1)^n EIm\omega^2K_s\theta'_L + (-1)^{n+1} AGEI\alpha_n^2\theta'_L)) / (L(-A^2Gm\omega^2 + Im^2\omega^4K_s - AGIm\omega^2\alpha_n^2 - AEIm\omega^2K_s\alpha_n^2 - A^2GEI\alpha_n^4))). \quad (35)$$

### 3.4. Sınır koşulları

Timoshenko kirişine ait eğilme momenti  $M(z)$  ve kesme kuvveti  $T(z)$  fonksiyonları aşağıdaki gibi yazılır.

$$M(z) = EI \frac{\partial \theta(z)}{\partial z}, \quad (36)$$

$$V(z) = \frac{AG}{K_s} \frac{\partial \varphi(z)}{\partial z} - \frac{AG}{K_s} \theta(z), \quad (37)$$



**Şekil 1:**  
Sınır koşulları.

(36) denklemindeki  $M(z)$  moment fonksiyonu şu şekilde yazılabilir.

$$R\theta = EI \frac{\partial \theta(z)}{\partial z}, \quad R\theta - EI \frac{\partial \theta(z)}{\partial z}, \quad (38)$$

elde edilir. Yukarıdaki fonksiyondaki R rijitlik deęeridir bu deęer Őekil 1. deki gibi daha sonra  $R_1$  ve  $R_2$  olarak yazılmıřtır.

### 3.5. Katsayılar Matrisinin Oluřturulması ve Problemin Çözümü

$\theta(z)$  fonksiyonunu denklem (30)'dan elde edilirse;

$$\theta(z) = \frac{EI \frac{\partial^2 \theta(z)}{\partial z^2} + \frac{AG}{K_s} \frac{\partial \varphi(z)}{\partial z}}{\frac{AG}{K_s} - m \frac{I\omega^2}{A}}, \quad (39)$$

elde edilir. (19) ve (25) denklemleri (39) denkleminde yerine yazılırsa;

$$\begin{aligned} \theta(z) = & (EI \left( \frac{(\theta'_L - \theta'_0)}{L} + \sum_{n=1}^{\infty} \cos(\alpha_n z) \left( \frac{2((-1)^n \theta'_L - \theta'_0)}{L} - \alpha_n^2 B_n \right) \right. \\ & + \frac{AG}{K_s} \left( \frac{(\varphi_L - \varphi_0)}{L} + \sum_{n=1}^{\infty} \cos(\alpha_n z) \left( \frac{2((-1)^n \varphi_L - \varphi_0)}{L} \right. \right. \\ & \left. \left. + (\alpha_n A_n) \right) \right) / \left( \frac{AG}{K_s} - m \frac{I\omega^2}{A} \right), \end{aligned} \quad (40)$$

bulunur.  $\varphi_0$  ve  $\varphi_L$  deęerleri mesnet Őartları gereęi 0 dır. Yani (40) denklemi ařađıdaki gibi yazılabilir.

$$\begin{aligned} \theta(z) = & (EI \left( \frac{(\theta'_L - \theta'_0)}{L} + \sum_{n=1}^{\infty} \cos(\alpha_n z) \left( \frac{2((-1)^n \theta'_L - \theta'_0)}{L} - \alpha_n^2 B_n \right) \right. \\ & \left. + \frac{AG}{K_s} \left( \sum_{n=1}^{\infty} \cos(\alpha_n z) (\alpha_n A_n) \right) \right) / \left( \frac{AG}{K_s} - m \frac{I\omega^2}{A} \right), \end{aligned} \quad (41)$$

(34) ve (35) denklemleri (41) denkleminde yerine yazılırsa ve (41) denklemi  $z=0$  ve  $\alpha_n = \frac{n\pi}{L}$  için (38)'de yerine yazılırsa;

$$\begin{aligned} & \left( -EI - \left( \frac{EI}{L} \right) R_1 \right. \\ & \left. + \sum_{n=1}^{\infty} \frac{2AEILR_1 (-AGn^2\pi^2 + L^2m\omega^2 K_s)}{AG(AEIn^4\pi^4 - L^2(AL^2 + In^2\pi^2)m\omega^2) + IL^2m\omega^2(-AEn^2\pi^2 + L^2m\omega^2)K_s} \right) \theta'_0 \\ & + \left( \left( \frac{EI}{L} \right) R_1 \right. \\ & \left. + \sum_{n=1}^{\infty} \frac{2(-1)^n AEILR_1 (AGn^2\pi^2 - L^2m\omega^2 K_s)}{AG(AEIn^4\pi^4 - L^2(AL^2 + In^2\pi^2)m\omega^2) + IL^2m\omega^2(-AEn^2\pi^2 + L^2m\omega^2)K_s} \right) \theta'_L = 0, \end{aligned} \quad (42)$$

bulunur. (34) ve (35) denklemleri (41) denkleminde yerine yazılırsa ve (41) denklemi  $z=L$  ve  $\alpha_n = \frac{n\pi}{L}$  için (38)'de yerine yazılırsa;

$$\begin{aligned}
 & \left( - \left( \frac{\frac{EI}{L}}{\frac{AG}{K_s} - m \frac{I\omega^2}{A}} \right) R_2 \right. \\
 & + \left. \sum_{n=1}^{\infty} \frac{2(-1)^n AEILR_1 (AGn^2\pi^2 - L^2m\omega^2K_s)}{AG(AEIn^4\pi^4 - L^2(AL^2 + In^2\pi^2)m\omega^2) + IL^2m\omega^2(-AEn^2\pi^2 + L^2m\omega^2)K_s} \right) \theta'_0 \\
 & + \left( -EI + \left( \frac{\frac{EI}{L}}{\frac{AG}{K_s} - m \frac{I\omega^2}{A}} \right) R_2 \right. \\
 & + \left. \sum_{n=1}^{\infty} \frac{2AEILR_1 (-AGn^2\pi^2 + L^2m\omega^2K_s)}{AG(AEIn^4\pi^4 - L^2(AL^2 + In^2\pi^2)m\omega^2) + IL^2m\omega^2(-AEn^2\pi^2 + L^2m\omega^2)K_s} \right) \theta'_L = 0,
 \end{aligned} \tag{43}$$

(42) ve (43) denklemleri katsayılar matrisi formunda gösterilebilir.

$$\begin{bmatrix} \Phi_{11} & \Phi_{12} \\ \Phi_{21} & \Phi_{22} \end{bmatrix} * \begin{bmatrix} \theta'_0 \\ \theta'_L \end{bmatrix} = 0, \tag{44}$$

buradaki  $\Phi_{11}$ ,  $\Phi_{12}$ ,  $\Phi_{21}$  ve  $\Phi_{22}$  parametreleri aşağıdaki gibidir.

$$\Phi_{11} \tag{45}$$

$$\begin{aligned}
 & = -EI - \left( \frac{\frac{EI}{L}}{\frac{AG}{K_s} - m \frac{I\omega^2}{A}} \right) R_1 \\
 & + \sum_{n=1}^{\infty} \frac{2AEILR_1 (-AGn^2\pi^2 + L^2m\omega^2K_s)}{AG(AEIn^4\pi^4 - L^2(AL^2 + In^2\pi^2)m\omega^2) + IL^2m\omega^2(-AEn^2\pi^2 + L^2m\omega^2)K_s},
 \end{aligned} \tag{46}$$

$$\Phi_{12} \tag{47}$$

$$\begin{aligned}
 & = \left( \frac{\frac{EI}{L}}{\frac{AG}{K_s} - m \frac{I\omega^2}{A}} \right) R_1 \\
 & + \sum_{n=1}^{\infty} \frac{2(-1)^n AEILR_1 (AGn^2\pi^2 - L^2m\omega^2K_s)}{AG(AEIn^4\pi^4 - L^2(AL^2 + In^2\pi^2)m\omega^2) + IL^2m\omega^2(-AEn^2\pi^2 + L^2m\omega^2)K_s},
 \end{aligned} \tag{47}$$

$$\Phi_{21} \tag{48}$$

$$\begin{aligned}
 & = - \left( \frac{\frac{EI}{L}}{\frac{AG}{K_s} - m \frac{I\omega^2}{A}} \right) R_2 \\
 & + \sum_{n=1}^{\infty} \frac{2(-1)^n AEILR_2 (AGn^2\pi^2 - L^2m\omega^2K_s)}{AG(AEIn^4\pi^4 - L^2(AL^2 + In^2\pi^2)m\omega^2) + IL^2m\omega^2(-AEn^2\pi^2 + L^2m\omega^2)K_s},
 \end{aligned} \tag{48}$$

$$\Phi_{22} \tag{49}$$

$$\begin{aligned}
 & = -EI + \left( \frac{\frac{EI}{L}}{\frac{AG}{K_s} - m \frac{I\omega^2}{A}} \right) R_2 \\
 & + \sum_{n=1}^{\infty} \frac{2AEILR_2 (-AGn^2\pi^2 + L^2m\omega^2K_s)}{AG(AEIn^4\pi^4 - L^2(AL^2 + In^2\pi^2)m\omega^2) + IL^2m\omega^2(-AEn^2\pi^2 + L^2m\omega^2)K_s}.
 \end{aligned}$$

#### 4. SONUÇLAR

Problemin çözümlerinde bulunan denklemlerdeki rijitlik deęerleri ( $R_1$  ve  $R_2$ ) çok büyük alınması durumunda ankastre mesnet gibi davranacaktır. Çok küçük alınması durumunda da basit mesnet gibi davranacaktır.

Kiriř modeli için  $L=8$  m,  $A=0,15m^2$ ,  $m=0,382263kN.sn^2/m$ ,  $I=0,003125m^4$ ,  $E=30000000kN/m^2$ ,  $G=11538461,54kN/m^2$ ,  $K_s=1,2$  alınmıřtır. Verilen deęerler matriste yerine yazılıp çözüldüğünde açısız frekanslar elde edilir.

##### 4.1. Literatürde Yapılan Çalıřmalar ile Kıyaslama

**Tablo 1.Bozyiđit ve dię. (2015) yapmıř oldukları çalıřmada DTM ile elde ettikleri, farklı mesnetlenme kořulları için bulunan açısız frekanslar ile bu çalıřmadan elde edilen açısız frekansların deęeri.**

Sınır kořulları									
Ankastre-Ankastre			Ankastre-Basit			Basit-Basit			
Yöntem	$\omega_1$	$\omega_2$	$\omega_3$	$\omega_1$	$\omega_2$	$\omega_3$	$\omega_1$	$\omega_2$	$\omega_3$
Analitik	168.62	449.98	847.58	117.48	371.08	747.49	75.87	297.77	650.40
DTM	168.62	449.98	847.58	117.48	371.08	747.79	75.87	297.77	650.40
Sap2000	168.90	452.70	847.58	117.62	373.29	756.37	75.98	299.48	658.17
Bu çalıřma	168.74	453.58	848.07	117.52	371.20	747.72	75.87	297.77	650.40

##### 4.2. Sonuçların Deęerlendirilmesi

Bu çalıřmada dönmeyi engelleyici elastik yay ve sabit mesnet ile mesnetli Timoshenko kiriřlerinin serbest titreřim analizi Fourier serileri kullanılarak yapılmıřtır. Elde edilen sonuçlar Tablo (1)'de literatürde yapılan sonuçlar ile kıyaslandığında bulunan sonuçların birbirine oldukça yakın olduđu görülmektedir. Bu da, bu çalıřmada kullanılan bu yöntemin doęruluęunu göstermektedir. Ayrıca bu çalıřmanın dięer çalıřmalardan farkı rijit olmayan sınır kořulları içinde hesap yapılmasına imkân saęlamasıdır. Bu yönden de bu çalıřmada bulunan sonuçlar mühendislik açısından fayda saęlamasının yanında bundan sonra yapılacak olan çalıřmalar içinde referans olacaktır.

Dięer taraftan elde edilen sonuçlarda, iki ucu basit mesnet ile mesnetli kiriřin en küçük açısız frekans deęerlerine sahip olduđu iki ucu ankastre mesnet ile mesnetli kiriřin ise en büyük açısız frekans deęerlerine sahip olduđu saplanmıřtır. Ayrıca ařađıda bu durumu destekleyici nitelikte olan Őekil (2, 3, 4, 5 ve 6) ve Tablo (2, 3, 4, 5 ve 6)'da rijitlik arttıkça açısız frekansların arttıđı gözlenmiřtir. Bunun dıřında Tablo (7) ve Őekil (7, 8, 9, 10, 11 ve 12)' de kiriř boyu arttıkça açısız frekans deęerlerinin azaldıđı gözlenmiřtir.

Őekil (2, 3, 4, 5 ve 6) ve Tablo (2, 3, 4, 5 ve 6) kendi arasında bütündür ve iki ucu basit mesnet ve dönmeyi engelleyici elastik yaylar ile mesnetli bir kiriřin rijitliklerinin deęiřimine baęlı olarak deęiřen ilk beř moddaki açısız frekansları tablolar ve grafikler Őeklinde göstermektedir. Tablo (7) ve Őekil (7, 8, 9, 10, 11 ve 12) de kendi arasında bütündür ve basit-basit, basit-ankastre ve ankastre-ankastre mesnetli bir kiriřin kiriř boyuna ( $L$ ) baęlı ilk üç moddaki açısız frekansları tablo ve grafiksel biçimde gösterilmiřtir. Bu tablolar ve Őekiller oluřturulurken sonuçlar bölümünde belirtilen deęerler ile iřlemler yapılmıřtır.

**Tablo 2. 1.moda ait rijitliklere göre açısız frekanslar.**

		$R_1$						
		$10^1$	$10^2$	$10^3$	$10^4$	$10^5$	$10^6$	$10^7$
$R_2$	$10^1$	75,884	75,942	76,517	81,487	101,288	115,247	117,525
	$10^2$	75,942	76,001	76,575	81,554	101,346	115,306	117,585
	$10^3$	76,517	76,575	77,149	82,110	101,914	115,898	118,181
	$10^4$	81,495	81,553	82,119	87,036	106,912	121,134	123,468
	$10^5$	101,463	101,521	102,089	107,081	128,198	144,139	146,813



	$10^6$	115,666	115,726	116,318	121,555	144,414	162,427	165,551
	$10^7$	117,993	118,054	118,651	123,939	147,145	165,569	168,735

**Tablo 3. 2.moda ait rijitliklere göre açısıl frekanslar.**

		$R_1$						
		$10^1$	$10^2$	$10^3$	$10^4$	$10^5$	$10^6$	$10^7$
$R_2$	$10^1$	297,783	297,839	298,392	303,532	332,319	364,625	371,206
	$10^2$	297,839	297,895	298,447	303,587	332,373	364,679	371,262
	$10^3$	298,392	298,448	299,000	304,135	332,908	365,224	371,811
	$10^4$	303,542	303,597	304,144	309,241	337,917	370,336	376,965
	$10^5$	332,649	332,703	333,239	338,299	366,954	400,536	407,529
	$10^6$	365,807	365,862	366,407	371,517	401,432	437,704	445,422
	$10^7$	372,612	372,668	373,218	378,372	408,666	445,671	453,584

**Tablo 4. 3.moda ait rijitliklere göre açısıl frekanslar.**

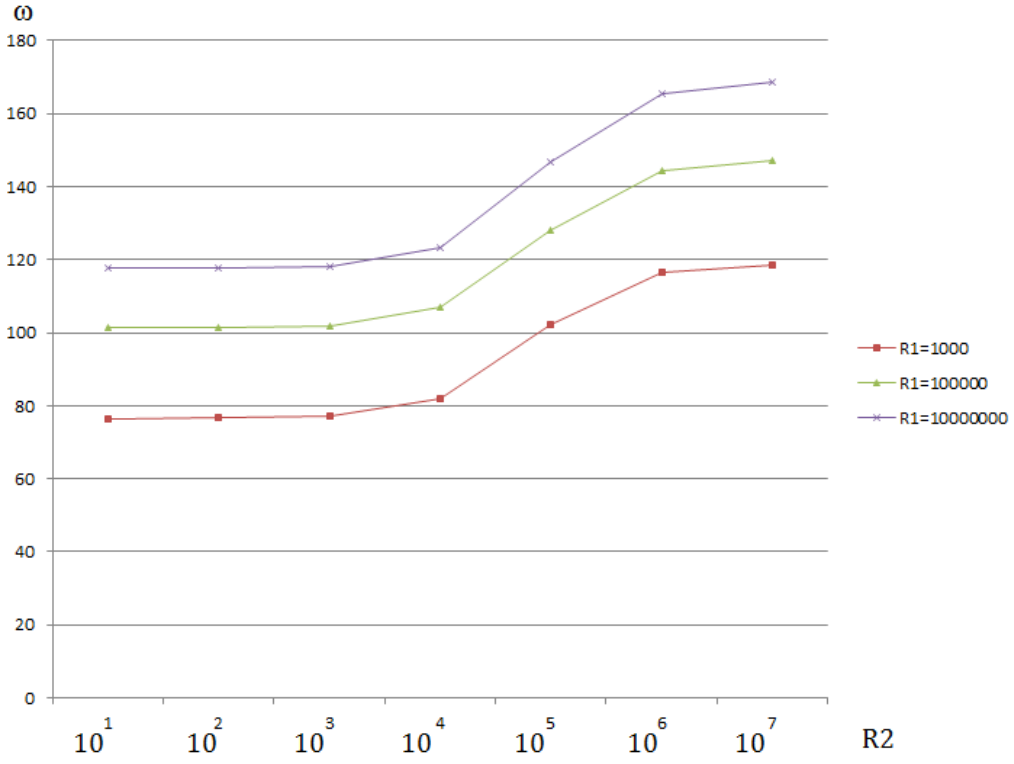
		$R_1$						
		$10^1$	$10^2$	$10^3$	$10^4$	$10^5$	$10^6$	$10^7$
$R_2$	$10^1$	650,411	650,463	650,978	655,879	687,800	735,925	747,723
	$10^2$	650,463	650,515	651,030	655,930	687,849	735,973	747,772
	$10^3$	650,978	651,030	651,545	656,441	688,344	736,458	748,257
	$10^4$	655,888	655,939	656,450	661,317	693,067	741,095	752,896
	$10^5$	688,219	688,269	688,764	693,476	724,484	772,270	784,162
	$10^6$	737,996	738,045	738,530	743,158	773,941	822,621	834,969
	$10^7$	750,343	750,392	750,877	755,510	786,397	835,545	848,071

**Tablo 5. 4.moda ait rijitliklere göre açısıl frekanslar.**

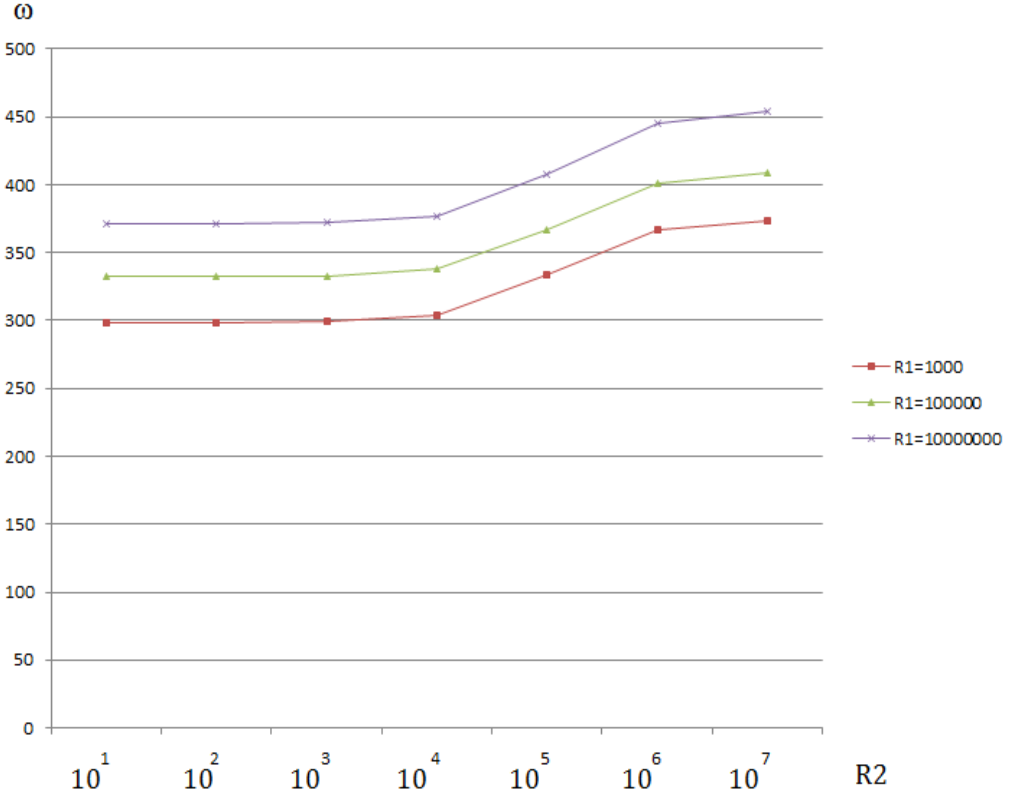
		$R_1$						
		$10^1$	$10^2$	$10^3$	$10^4$	$10^5$	$10^6$	$10^7$
$R_2$	$10^1$	1113,18	1113,23	1113,70	1118,22	1150,14	1208,97	1225,77
	$10^2$	1113,23	1113,27	1113,74	1118,26	1150,19	1209,02	1225,82
	$10^3$	1113,70	1113,74	1114,11	1118,73	1150,65	1209,48	1226,29
	$10^4$	1118,22	1118,27	1118,74	1123,25	1155,14	1213,99	1230,82
	$10^5$	1150,59	1150,64	1151,11	1155,58	1187,34	1246,56	1263,62
	$10^6$	1211,86	1211,91	1212,38	1216,88	1249,03	1310,06	1327,90
	$10^7$	1229,66	1229,71	1230,18	1234,71	1267,11	1328,94	1347,10

**Tablo 6. 5.moda ait rijitliklere göre açısıl frekanslar.**

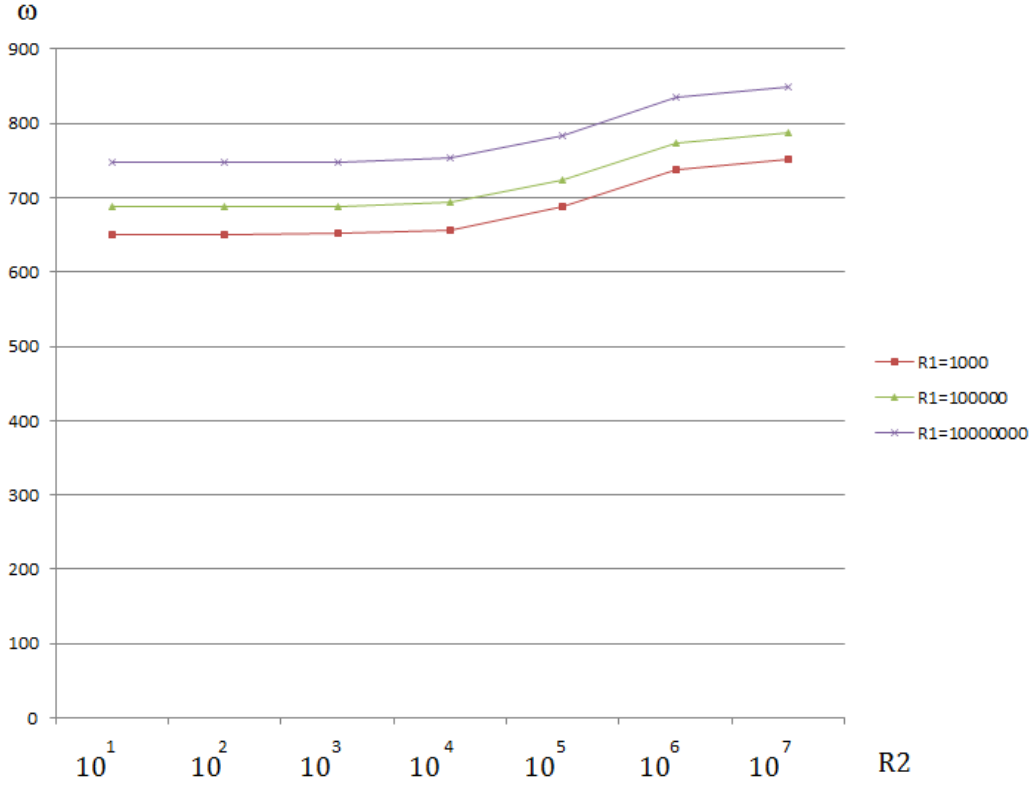
		$R_1$						
		$10^1$	$10^2$	$10^3$	$10^4$	$10^5$	$10^6$	$10^7$
$R_2$	$10^1$	1664,57	1664,61	1665,04	1669,13	1699,44	1763,77	1784,58
	$10^2$	1664,61	1664,66	1665,08	1669,17	1699,48	1763,81	1784,62
	$10^3$	1665,04	1665,08	1665,50	1669,59	1699,89	1764,20	1785,01
	$10^4$	1669,13	1669,18	1669,60	1673,62	1703,86	1768,01	1788,79
	$10^5$	1699,89	1699,94	1700,35	1704,32	1733,77	1796,81	1817,35
	$10^6$	1767,31	1767,35	1767,74	1771,54	1799,86	1861,29	1881,57
	$10^7$	1789,61	1789,65	1790,04	1793,80	1821,90	1883,08	1903,37



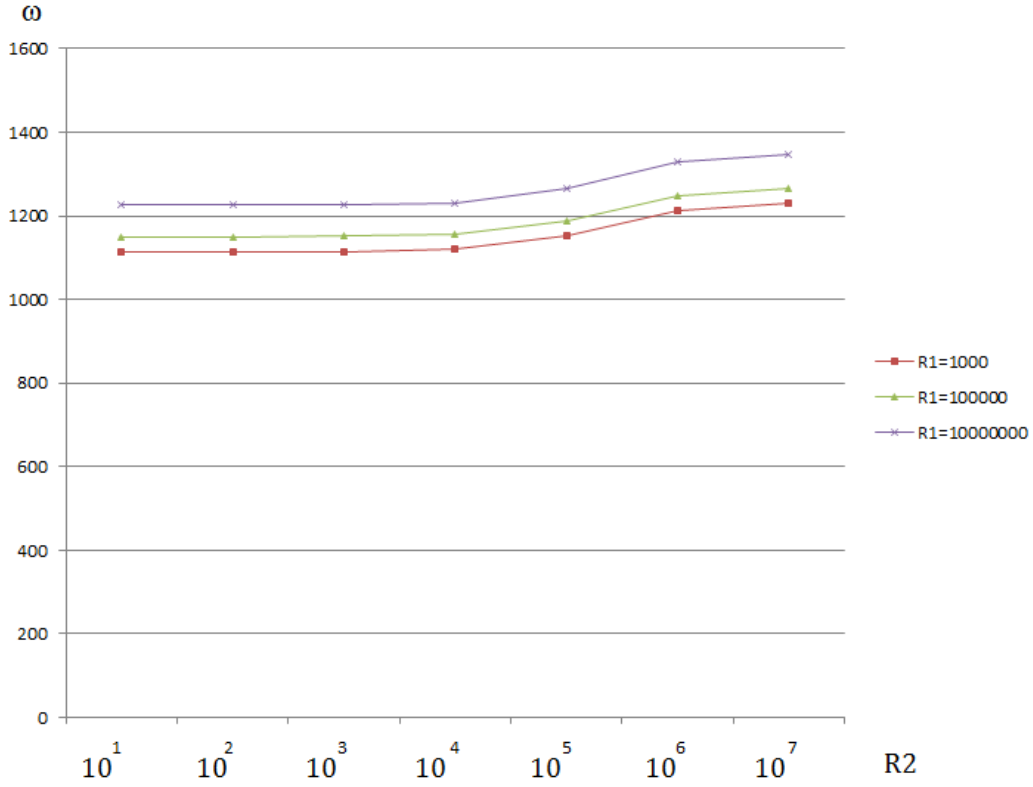
**Őekil 2:**  
*1.moda ait rijitliklere gre aısal frekansları deđiřimi.*



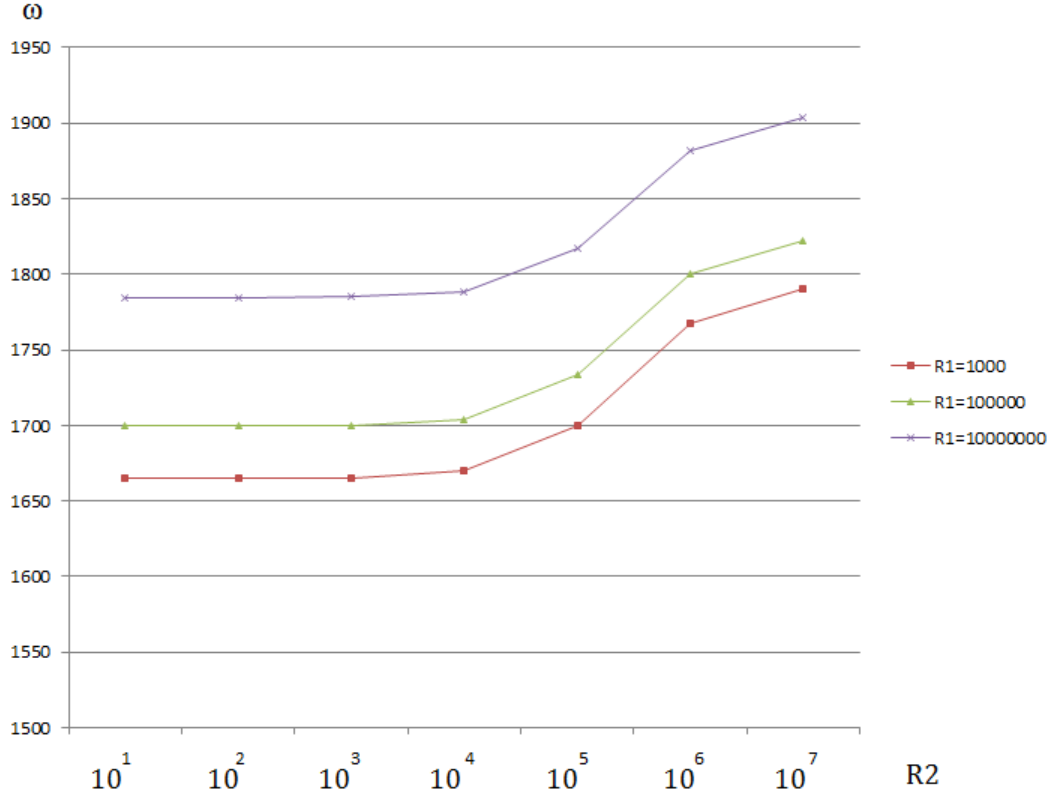
**Őekil 3:**  
*2.moda ait rijitliklere gre aısal frekansları deđiřimi.*



**Şekil 4:**  
3.moda ait rijitliklere göre açısıl frekansları değişimi.



**Şekil 5:**  
4.moda ait rijitliklere göre açısıl frekansları değişimi.



Şekil 6:

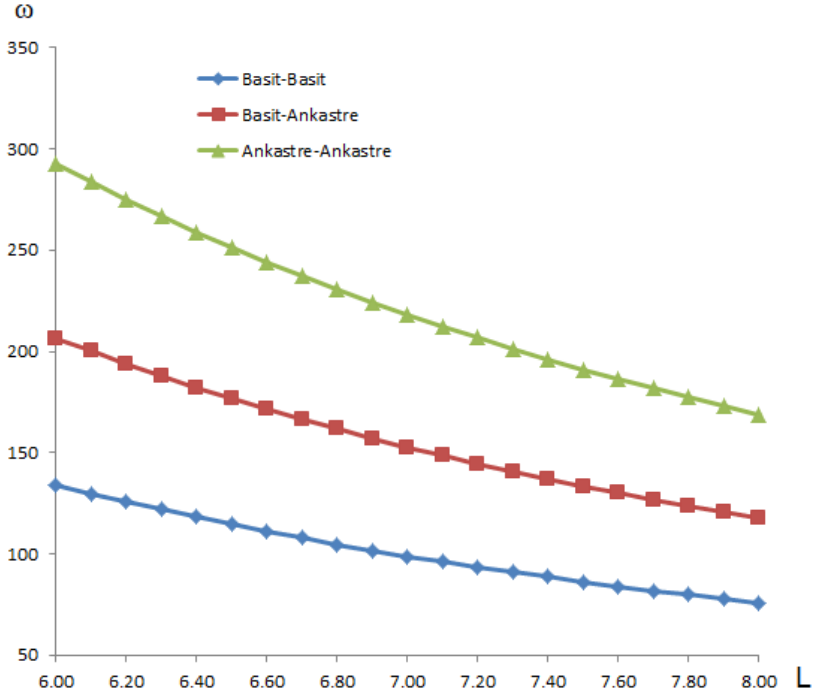
5. moda ait rijitliklere göre açısız frekansları deđiřimi.

Kiriř modeli için L deđişken olmak üzere  $A=0,15m^2$ ,  $m=0,382263kN.sn^2/m$ ,  $I=0,003125m^4$ ,  $E=30000000kN/m^2$ ,  $G=11538461,54kN/m^2$ ,  $K_s=1,2$  alınıp rijit sınır kořullarında ařađıdaki tablo ve grafikler oluşturulabilir.

Tablo 7. Farklı rijit sınır kořullarında kiriř boyuna bađlı açısız frekanlar.

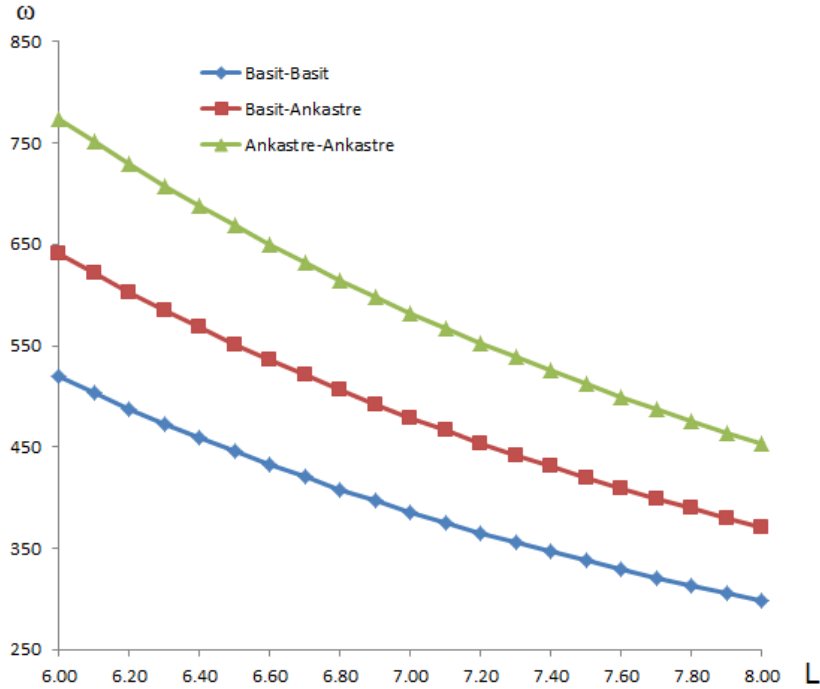
L	Basit-Basit Mesnet			Basit-Ankaste Mesnet			Ankaste-Ankaste Mesnet		
	1.MOD ( $\omega$ )	2.MOD ( $\omega$ )	3.MOD ( $\omega$ )	1.MOD ( $\omega$ )	2.MOD ( $\omega$ )	3.MOD ( $\omega$ )	1.MOD ( $\omega$ )	2.MOD ( $\omega$ )	3.MOD ( $\omega$ )
6,0	134,21	519,55	1113,17	206,61	641,13	1263,93	292,74	773,99	1409,07
6,1	129,89	503,34	1079,88	200,05	621,54	1227,13	283,71	750,96	1369,60
6,2	125,78	487,86	1048,03	193,79	602,83	1191,88	275,08	728,93	1331,72
6,3	121,86	473,09	1017,55	187,82	584,94	1158,08	266,84	707,83	1295,35
6,4	118,12	458,96	988,35	182,12	567,82	1125,68	258,96	687,62	1260,41
6,5	114,55	445,46	960,36	176,67	551,43	1094,58	251,42	668,25	1226,82
6,6	111,13	432,53	933,52	171,47	535,73	1064,72	244,20	649,67	1194,53
6,7	107,87	420,16	907,78	166,49	520,69	1036,05	237,28	631,84	1163,46
6,8	104,75	408,30	883,06	161,72	506,26	1008,49	230,66	614,72	1133,55
6,9	101,76	396,93	859,33	157,15	492,41	981,99	224,30	598,28	1104,76
7,0	98,90	386,03	836,52	152,78	479,12	956,51	218,20	582,47	1077,02
7,1	96,16	375,56	814,59	148,58	466,35	931,98	212,34	567,28	1050,29
7,2	93,53	365,51	793,50	144,55	454,07	908,36	206,71	552,66	1024,51
7,3	91,00	355,86	773,20	140,68	442,28	885,61	201,30	538,59	999,65
7,4	88,58	346,58	753,66	136,97	430,92	863,69	196,10	525,04	975,66
7,5	86,25	337,65	734,84	133,40	420,00	842,56	191,10	511,99	952,51
7,6	84,01	329,06	716,71	129,97	409,48	822,18	186,28	499,41	930,15

7,7	81,86	320,80	699,23	126,67	399,35	802,52	181,64	487,29	908,55
7,8	79,78	312,84	682,37	123,49	389,58	783,54	177,17	475,59	887,67
7,9	77,79	305,17	666,10	120,43	380,17	765,21	172,87	464,31	867,50
8,0	75,87	297,77	650,40	117,52	371,20	747,72	168,74	453,58	848,07



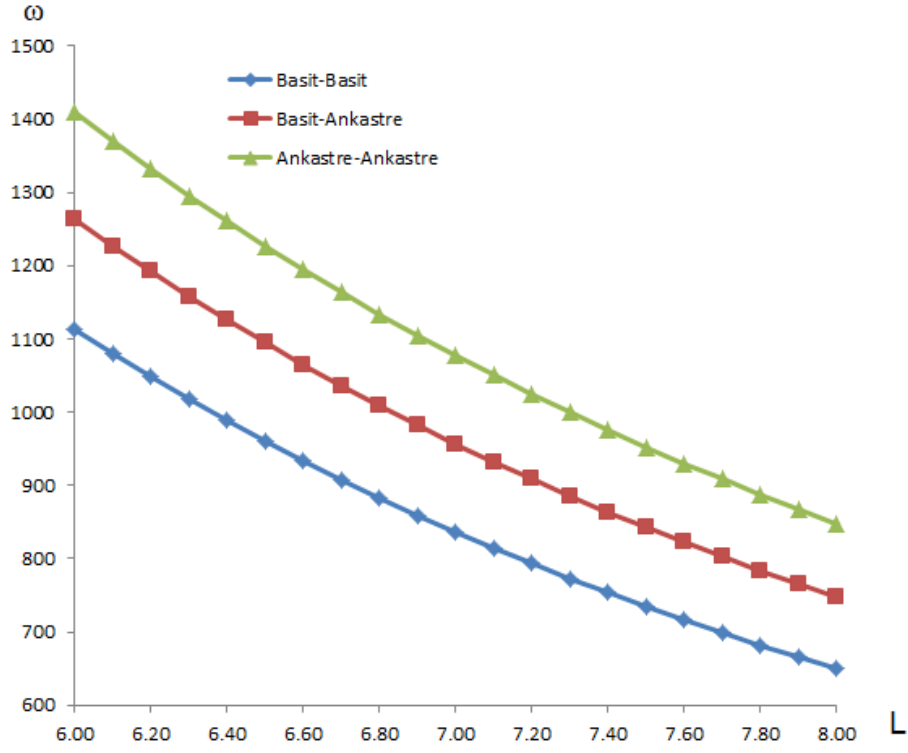
Şekil 7:

*L'e bağlı farklı mesnetlenme koşullarındaki, 1.moddaki açısıl frekansların değişimi.*



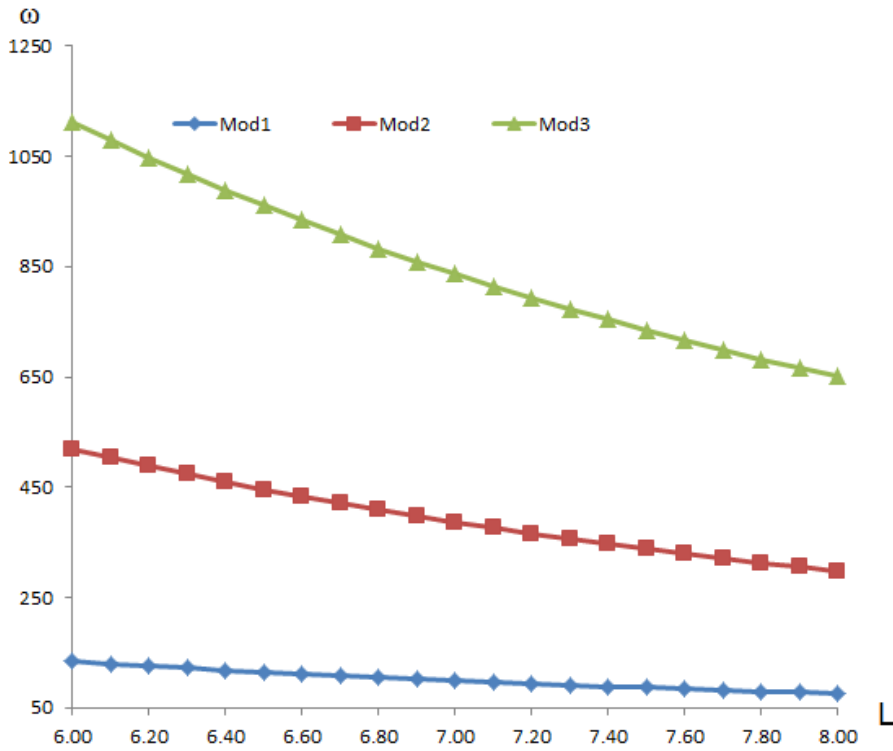
Şekil 8:

*L'e bağlı farklı mesnetlenme koşullarındaki, 2.moddaki açısıl frekansların değişimi.*



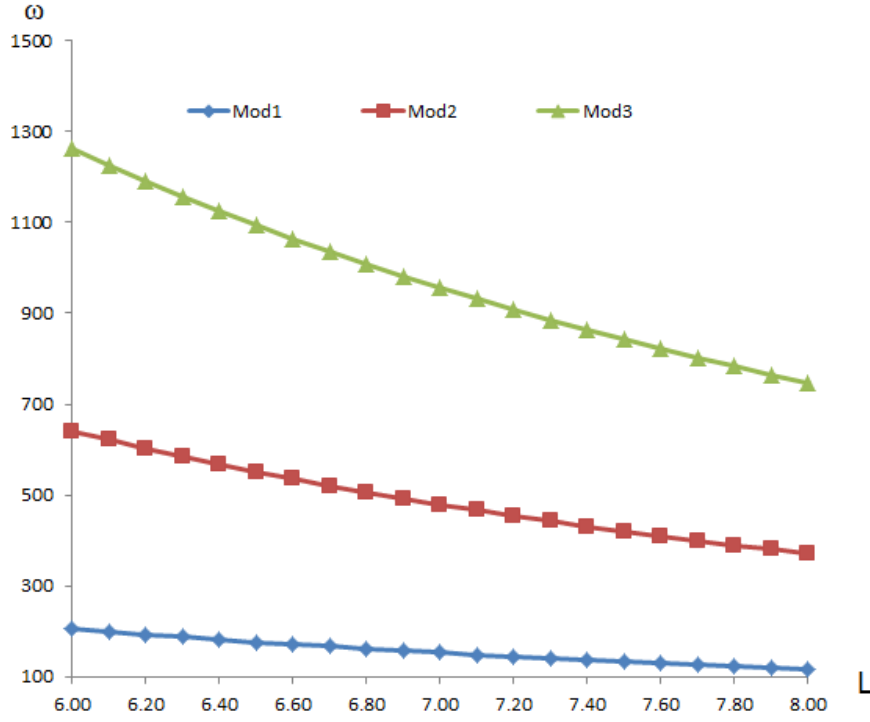
Őekil 9:

*L'e bađlı farklı mesnetlenme kořullarındaki, 3.moddaki ađısal frekansların deđiřimi.*



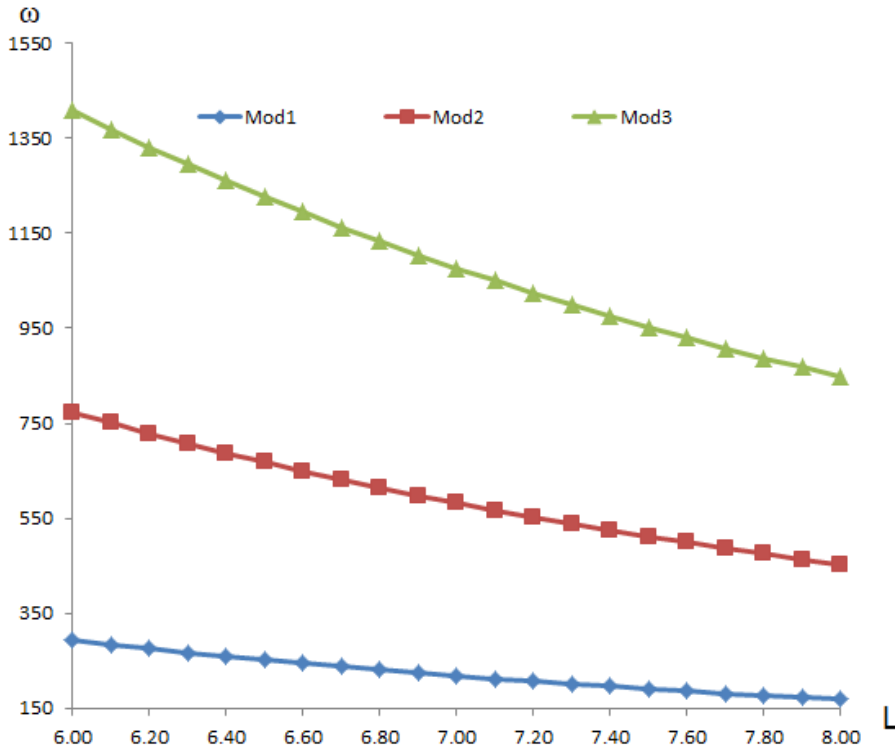
Őekil 10:

*L'e bađlı farklı basit-basit mesnetli kiriřin 1.mod 2. mod ve 3. moddaki ađısal frekanslarının deđiřimi.*



**Şekil 11:**

*L'e bağlı farklı basit-ankastre mesnetli kirişin 1. mod 2. mod ve 3. moddaki açısal frekanslarının değişimi.*



**Şekil 12:**

*L'e bağlı farklı ankastre-ankastre mesnetli kirişin 1. mod 2. mod ve 3. moddaki açısal frekanslarının değişimi.*

## KAYNAKLAR

1. Banerjee, J. R. (1998). Free vibration of axially loaded composite Timoshenko beams using the dynamic stiffness matrix method, *Computes & Structures*, 69, 197-208. doi:10.1016/S0045-7949(98)00114-X
2. Bozyiđit, B., atal, S. and atal H. H. (2015) Timoshenko kiriřlerinin serbest titreřim analizinin diferansiyel transformasyon methodu ile incelenmesi, 3. *Türkiye Deprem Mühendisliđi ve Sismoloji Konferansı*, D.E.Ü., İzmir.
3. Demirdag, O. and Yesilce, Y. (2011). Solution of free vibration equation of elastically supported Timoshenko columns with a tip mass by differential transform method, *Advances in Engineering Software*, 42(10), 860-867. doi: 10.1016/j.advengsoft.2011.06.002
4. De Rosa, M. A. (1995) Free vibrations of Timoshenko beams on two-parameter elastic foundation, *Computes & Structures*, 57(1), 151-156. doi: 10.1016/0045-7949(94)00594-S
5. Develi, A. G. (2007). Elastik zemin üzerine oturan Timoshenko kiriřlerinde titreřim problemi, *Yüksek Lisans Tezi*, İstanbul Teknik Üniversitesi Fen Bilimleri Enstitüsü, İstanbul.
6. Farghaly, S. H. (1994). Vibration and stability analysis Timoshenko beams with discontinuities in cross-section, *Journal of Sound and Vibration*, 174, 591-605. doi: 10.1006/jsvi.1994.1296
7. Gül, U. and Aydođdu, M. (2015). Elastik zemin üzerinde oturan Timoshenko kiriřlerinde dalga yayınıını, *Uluslararası Katılımlı 17. Makina Teorisi Sempozyumu*, İzmir.
8. Kim, H. K. and Kim, M. S. (2001). Vibration of beams with generally restrained boundary conditions using Fourier series, *Journal of Sound and Vibration*, 245(5), 771-784. doi: 10.1006/jsvi.2001.3615
9. Kocatürk, T. and Şimşek, M. (2005). Free vibration analysis of elastically supported Timoshenko beams, *Sigma*, (3) 79-93. Doi: 53A40, 74H45.
10. Yesilce, Y. and Catal, H. H. (2011). Solution of free vibration equations of semi-rigid connected Reddy-Bickford beams resting on elastic soil using the differential transform method, *Archive of Applied Mechanics*, 81(2), 199-213. doi: 10.1007/s00419-010-0405-z
11. Zhou, D. (2001). Free vibration of multi-span Timoshenko beams using static Timoshenko beam functions, *Journal of Sound and Vibration*, 241, 725-734.
12. Wolfram Mathematica